

## Spinel Pigment의 生成反應에 관한 研究

李 應 相 · 朴 哲 元 · 黃 聖 渊

漢陽大學校 烹茶工學科

(1975年2月4日接受)

### A Study on the Formation of Spinel Pigment

(Green Pigment based on Magnesium-Chrome)

Eung-Sang Lee, Cheol-Won Park and Sung-Yun Hwang

Department of Ceramic Engineering, Han-Yang University

(Received Feb., 4, 1975)

### ABSTRACT

This study was conducted to research the formation, color development and application for colored glazes of the spinel solid solutions of the green pigment.

On specimens prepared by calcining the oxide and basic carbonate mixture at 1250°C for 1.5 hour, the x-ray analysis, measurement of reflectance and the test of their stability as a glaze pigment were carried out. The results are summarized as follows

- 1) Each sample is composed of single spinel and not of mixture of spinel.
- 2) Formation of continuous solid solution, except for a few instances, pertaining to Vegard's law was confirmed by means of the x-ray analysis.
- 3) The more difference between absorption and reflectance lies, the lighter colors are. When the absorption occurs at the high-reflectance, the excitation purity becomes low. On the contrary when the absorption takes place at the low-reflectance, the excitation purity is higher.
- 4) Colors obtained in the  $\text{CdO}-\text{MgO}-\text{Cr}_2\text{O}_3-\text{Al}_2\text{O}_3$  system, as the amounts of  $\text{Al}^{3+}$  increased, change from green through brown to pink, and the absorption peak shifts towards violet region.
- 5) An increase in  $\text{Co}^{2+}$  in the  $\text{CoO}-\text{MgO}-\text{Cr}_2\text{O}_3-\text{Al}_2\text{O}_3$  system, changes the color from blue green to dark blue. The excitation purity is higher, and the absorption peak shifts towards regions.
- 6) Colors are green in the  $\text{NiO}-\text{MgO}-\text{Cr}_2\text{O}_3$  and  $\text{CdO}-\text{MgO}-\text{Cr}_2\text{O}_3$  systems in general, but in the  $\text{ZnO}-\text{MgO}-\text{Cr}_2\text{O}_3$  system brilliant hue is not obtained.
- 7) According to the results of the colored glaze test, the spinels turn out to be stable as brilliant glaze pigment in the calcium-magnesia glaze.

갖는 顏料가 要望된다.

### 1. 緒 論

烹茶用 彩色料로서 高溫에서 安定한 Spinel 構造를

具する 鐵物名이 나) 一般的으로  $\text{AB}_2\text{O}_4$  혹은  $\text{AO} \cdot \text{B}_2\text{O}_3$  와

같은 化學式으로 表示되어 人工의 으로 合成할 수가 있다.  $AB_2O_4$ 의 式에서  $A = 2$  價,  $B = 3$  價와  $A = 4$  價,  $B = 2$  價의 두 종류가 있다. 2 價의 金屬에는  $Mg^{2+}$ ,  $Mn^{2+}$ ,  $Fe^{2+}$ ,  $Co^{2+}$ ,  $Ni^{2+}$ ,  $Cu^{2+}$ ,  $Zn^{2+}$ ,  $Cd^{2+}$  등이고 3 價의 金屬은  $Al^{3+}$ ,  $Cr^{3+}$ ,  $Fe^{3+}$ ,  $V^{3+}$ ,  $In^{3+}$  등이며 4 價의 것으로는  $Ti^{4+}$ ,  $Sn^{4+}$  等이 있다.

高溫에서 매우 安定하고 混晶生成能力이 좋은은 Spinel의 重要한 特性이며, 後者는 特히 星色에 要重한 役割을 하여 美麗한 顏料의 合成을 可能하게 한다. 일단 生成된 Spinel構造는 融劑나 其他 다른 添加劑에 依하여 약간 色이 換어질지언정 그 基本色相은 變하지 않는다<sup>8)</sup>.

그동안 새로운 無機顏料의 開發의 일환으로 Spinel系 顏料로서는 1954年 YAMAGUCHI<sup>10)</sup> 가  $Al^{3+}$ ,  $Cr^{3+}$ ,  $Sn^{4+}$  를 含有한 Spinel에 대하여 鹽基性炭酸鹽의 一級試藥을 使用하여 비교적 낮은 游度인  $1200^{\circ}C$ 에서 Spinel 顏料를 얻었으며, TAKAHASHI<sup>11)</sup>는 Ti-Spinel에 대하여, 또 OTSUKA<sup>1, 2, 3)</sup>는  $Co^{2+}$ ,  $Ni^{2+}$  를 換換固溶한 Ti-Spinel, Sn-Spinel, Ti-Sn系 Spinel, Ti-Al系 Spinel 및 Ti-Cr系 Spinel에 對한 生成反應과 色에 대하여 報告한 바가 있다. 이와같이 대개의 研究가 Ti 또는 Sn을 基本으로 한 Spinel 顏料의 製造研究이었다.

本 研究는 高溫에서 安定하고 美麗한 發色을 나타내는 Green系 Spinel 顏料를 開發할 目的으로  $MgO \cdot Cr_2O_3$ 를 基本組成으로 하고 이에 發色 ion인  $Co^{2+}$ ,  $Ni^{2+}$ ,  $Cd^{2+}$ ,  $Zn^{2+}$ 를  $Mg^{2+}$ 에 대하여 換換固溶한 Cr系 Spinel에 對하여 다시  $Cr^{3+}$ 를  $Al^{3+}$ 로 換換하여 얻어진 Spinel에 對한 星色의 變化와 結晶構造의 格子常數變化를 계통적으로 檢討研究한 것이다.

## 2. 實驗方法

### 2-1 試料의 調整

$MgO \cdot Cr_2O_3$ 系 Spinel 顏料로서  $xCoO \cdot (1-x)MgO \cdot Cr_2O_3$ ,  $xCdO \cdot (1-x)MgO \cdot Cr_2O_3$ ,  $xNiO \cdot (1-x)MgO \cdot Cr_2O_3$ ,  $xZnO \cdot (1-x)MgO \cdot Cr_2O_3$ ,  $MgO \cdot (1-x)Cr_2O_3 \cdot xAl_2O_3$ 系에서  $x=0.1, 0.5, 0.9$  mole 比로 換換한 組成으로 하고  $xCoO \cdot (1-x)MgO \cdot Cr_2O_3$ 와  $xCdO \cdot (1-x)MgO \cdot Cr_2O_3$ 系만을 다시  $Cr_2O_3$ 를  $Al_2O_3$ 로서 0.1, 0.5, 0.9 mole比로 換換시켰다.

實驗에 使用한 藥品은 全部 一級試藥이며  $CoO$ ,  $MgO$ ,  $NiO$ ,  $ZnO$ 는 各鹽基性炭酸鹽을,  $Al_2O_3$  원으로는 수산화알루미늄,  $Cr_2O_3$ 와  $CdO$ 는 酸化物를 使用하였다.

試料調合量 約 20 g가 되었음 각기 平均하여 濕式으

로 充分히 混合하고 乾燥後 Kanthal을 發熱體로 乾電氣爐中에서  $1250^{\circ}C$ 까지 加熱한 後 所定溫度에서 1時間 30分 維持시켰다. 溫度調節은 magnet 斷續方式에 依한 自動溫度調節器에 依해 일정하게 維持시켰다. 加熱後 爐冷하여 얻어진 顏料粒度  $44\mu$ 이하가 되게 agate mortar로 微粉碎하였다.

上記의 烧成溫度는 예비實驗에서 소정의 mole 比로 조합된 試料를 1000, 1100, 1250, 1350°C로 烧成하여 얻어진 顏料에 依하여 Spinel 生成여부를 調查하기 위하여 X-線迴折分析을 施行한 結果  $1000^{\circ}C$  烧成 Sample에서는 混合 Spinel peak가 일부 있었고  $1100\sim 1350^{\circ}C$ 에서 單一 Spinel peak를 볼수 있었다.  $1250^{\circ}C$ 에서는一般的으로 低溫에서 보다 明度가 높고, 純度(excitation purity)가 높은, 均一하고 좋은 色相을 얻을수 있었으며 稀藥에 對하여도 安定性이 좋았으므로 鹽基性炭酸鹽 試藥을 使用한 試料에 對하여는  $1250^{\circ}C$ 로 烧成함이 適當하다고 判斷되어 本研究에서는 烧成溫度를  $1250^{\circ}C$ 로 固定하여 試驗하였다.

### 2-2. 測定方法

A) 自記式 X-線發生裝置(日本 SHIMADZU Co, Unit TYPE VD-1)에 依하여  $2\theta=15^{\circ}\sim 65^{\circ}$ 의 範圍를 high scanning speed(2degree/min)로 X-線分析을 하여 單一 Spinel의 生成을 觀察하고, 또 그의 格子定數의 精密測定을 行하였다. 格子定數의 测定은 이 系의 Spinel peak인 (511)面의 回折 peak  $2\theta=54^{\circ}\sim 58^{\circ}$ 範圍에서 low scanning speed(0.25degree/min)로 行하였고 高純度 Si(99.999%)의 回折 peak [ $d=1.638 2\theta=56.1^{\circ}(\alpha_1)$ ]로서 補正하였다.

B) 手動式 分光分析器[Color Eye D-1(I. D. L.)]에 依하여  $400\sim 700m\mu$ 間에 對하여  $20m\mu$  간격으로 分光反射曲線을 求하여 組成에 依한 分光吸收의 變化를 檢討하고 또 測色의 結果를 C. I. E 表示法(K. S. A 0061 참조)에 따라 HARDY<sup>12)</sup>의 "HANDBOOK OF COLORIMETRY"의 色度座標에 依하여 主波長  $\lambda d(m\mu)$ , 純度 Pe (%), 明度 Y(%)를 求하여 각己 그 值로서 表示하였다.

## 3. 實驗結果

試料組成의 表示에 있어서 Table, Fig.에는 다음과 같은 記號를 使用하였다.  $CoO : Co$ ,  $NiO : N$ ,  $ZnO : Z$ ,  $CdO : Cd$ ,  $MgO : M$ ,  $Cr_2O_3 : C$ ,  $Al_2O_3 : A$

예 : 0.1  $CoO \cdot 0.9 MgO \cdot Cr_2O_3$ 의 組成은  $Co_{0.1}M_{0.9}C$ 와 같이 表示했다.

### 3-1. X-線分析

Table 1. Composition and colors of spinel pigment.

No.	Composition	x	y	$\lambda d(\text{m}\mu)$	Pe(%)	Y(%)	Tint	a(Å)
1	MC	0.312	0.343	555	7.8	29.0	Strong Green	8.33
2	MC <sub>0.1</sub>	0.356	0.368	576	26.0	39.2	Brown	
3	MC <sub>0.5</sub>	0.377	0.386	577	36.5	25.1	Yellowish Brown	
4	MC <sub>0.9</sub>	0.352	0.371	574	26.0	25.0	Grayish Brown	
5	Co <sub>0.1</sub> M <sub>0.9</sub> C	0.255	0.331	494	19.5	23.6	Bluish Green	8.338
6	Co <sub>0.5</sub> M <sub>0.5</sub> C	0.217	0.307	490	35.5	15.0	Bluish Green	8.336
7	Co <sub>0.9</sub> M <sub>0.1</sub> C	0.204	0.299	489	41.0	10.5	Strong Bluish Green	8.333
8	Cd <sub>0.1</sub> M <sub>0.9</sub> C	0.312	0.351	554	10.0	29.9	Strong Green	8.355
9	Cd <sub>0.5</sub> M <sub>0.5</sub> C	0.309	0.373	550	15.0	37.3	Light Green	8.467
10	Cd <sub>0.9</sub> M <sub>0.1</sub> C	0.316	0.40	555	24.0	29.3	Dull Green	8.614
11	MC <sub>0.9</sub> A <sub>0.1</sub>	0.314	0.344	558	8.5	35.4	Strong Green	8.332
12	MC <sub>0.5</sub> A <sub>0.5</sub>	0.347	0.359	576	21.5	39.0	Dull Brown	8.328
13	MC <sub>0.1</sub> A <sub>0.9</sub>	0.33	0.33	583	9.0	65.1	Light Pink	8.324
14	N <sub>0.1</sub> M <sub>0.9</sub> C	0.293	0.347	515	6.2	25.6	Green	8.333
15	N <sub>0.5</sub> M <sub>0.5</sub> C	0.293	0.365	527	9.7	12.9	Deep Green	8.332
16	N <sub>0.9</sub> M <sub>0.1</sub> C	0.309	0.390	550	19.7	11	Dark Green	8.329
17	Z <sub>0.1</sub> M <sub>0.9</sub> C	0.313	0.345	556	8.5	26.9	Dull Green	8.346
18	Z <sub>0.5</sub> M <sub>0.5</sub> C	0.392	0.38	581	39.0	16.6	Dull Brown	8.351
19	Z <sub>0.9</sub> M <sub>0.1</sub> C	0.372	0.365	581	29.8	21.8	Dull Brown	8.346
20	Cd <sub>0.1</sub> M <sub>0.9</sub> C <sub>0.5</sub> A <sub>0.1</sub>	0.307	0.348	545	8.0	33.3	Green	8.349
21	Cd <sub>0.1</sub> M <sub>0.9</sub> C <sub>0.5</sub> A <sub>0.5</sub>	0.355	0.368	576	26.0	34.9	Dull Brown	8.338
22	Cd <sub>0.1</sub> M <sub>0.9</sub> C <sub>0.1</sub> A <sub>0.9</sub>	0.326	0.324	588	6.2	63.0	Light Pink	8.332
23	Cd <sub>0.5</sub> M <sub>0.5</sub> C <sub>0.9</sub> A <sub>0.1</sub>	0.279	0.423	538	24	53.2	Light Green	8.326
24	Cd <sub>0.5</sub> M <sub>0.5</sub> C <sub>0.5</sub> A <sub>0.5</sub>	0.315	0.356	557	12	41.8	Light Green	8.402
25	Cd <sub>0.5</sub> M <sub>0.5</sub> C <sub>0.1</sub> A <sub>0.9</sub>	0.321	0.316	620	3	46.4	Light Greenish Pink	8.326
26	Cd <sub>0.5</sub> M <sub>0.1</sub> C <sub>0.9</sub> A <sub>0.1</sub>	0.310	0.397	551	22	35.5	Light Green	8.532
27	Cd <sub>0.5</sub> M <sub>0.1</sub> C <sub>0.5</sub> A <sub>0.5</sub>	0.312	0.394	552	21.6	29.6	Light Green	8.505
28	Cd <sub>0.5</sub> M <sub>0.1</sub> C <sub>0.1</sub> A <sub>0.9</sub>	0.303	0.328	514	2.8	32.5	Light Bluish Green	8.4
29	Co <sub>0.1</sub> M <sub>0.9</sub> C <sub>0.5</sub> A <sub>0.1</sub>	0.256	0.327	493	19.5	27.3	Blue Green	8.341
30	Co <sub>0.1</sub> M <sub>0.9</sub> C <sub>0.5</sub> A <sub>0.5</sub>	0.301	0.35	532	7.2	26.8	Strong Green	8.333
31	Co <sub>0.1</sub> M <sub>0.9</sub> C <sub>0.1</sub> A <sub>0.9</sub>	0.317	0.359	558	13.5	28.6	Dull Green	8.324
32	Co <sub>0.5</sub> M <sub>0.5</sub> C <sub>0.5</sub> A <sub>0.1</sub>	0.212	0.298	489	38.0	18.4	Strong Greenish Blue	8.343
33	Co <sub>0.5</sub> M <sub>0.5</sub> C <sub>0.5</sub> A <sub>0.5</sub>	0.255	0.332	494	19.5	14.6	Blue Green	8.315
34	Co <sub>0.5</sub> M <sub>0.5</sub> C <sub>0.1</sub> A <sub>0.9</sub>	0.237	0.245	478	34.6	18.6	Light Blue	
35	Co <sub>0.9</sub> M <sub>0.1</sub> C <sub>0.5</sub> A <sub>0.1</sub>	0.196	0.289	488	44.5	10.5	Blue Green	8.338
36	Co <sub>0.9</sub> M <sub>0.1</sub> C <sub>0.5</sub> A <sub>0.5</sub>	0.225	0.316	491	31.8	10.2	Dull Bluish Green	8.343
37	Co <sub>0.9</sub> M <sub>0.1</sub> C <sub>0.1</sub> A <sub>0.9</sub>	0.22	0.228	478	42.8	7.5	Dark Blue	

※ x, y : Chromaticity coordinates

本實驗에서는標準試料인 MgO·Cr<sub>2</sub>O<sub>3</sub>를 MgO·0.1·Cr<sub>2</sub>O<sub>3</sub>, MgO·0.5Cr<sub>2</sub>O<sub>3</sub>, MgO·0.9Cr<sub>2</sub>O<sub>3</sub>까지變化시켜 본結果 MgO·Cr<sub>2</sub>O<sub>3</sub>만이 Fig. 1에서와 같이單一 Spinel이었다.

MgO-Cr<sub>2</sub>O<sub>3</sub>, MgO-Cr<sub>2</sub>O<sub>3</sub>-Al<sub>2</sub>O<sub>3</sub>, NiO-MgO-Al<sub>2</sub>O<sub>3</sub>, ZnO-MgO-Cr<sub>2</sub>O<sub>3</sub>, CoO-MgO-Cr<sub>2</sub>O<sub>3</sub>-Al<sub>2</sub>O<sub>3</sub>, CdO-MgO-

Cr<sub>2</sub>O<sub>3</sub>-Al<sub>2</sub>O<sub>3</sub>系의 X-線分析과單一 Spinel의 格子常數值(a)를 Table 1에, 組成에 따른 格子常數의 變化를 Fig. 10에 圖示하였다.

### 3-2. 分光分析

標準試料인 MgO·Cr<sub>2</sub>O<sub>3</sub>의 分光反射曲線을 Fig. 2에 圖示하였으며 試料의 組成變化에 對하여 C.I.E 表示

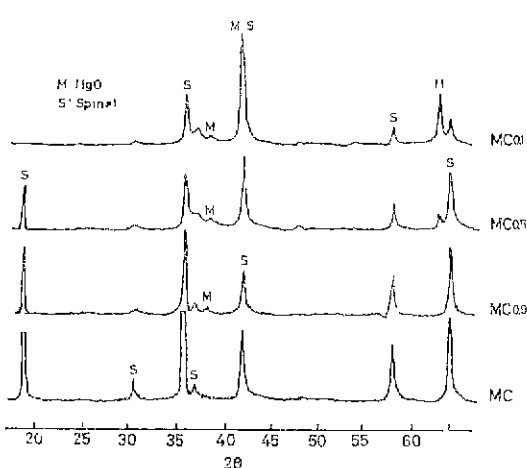


Fig. 1 X-ray diffraction patterns of calcined samples.  
Target. Cu 30KVP. 15mA. Ni filter.

法에 依하여 分光反射曲線으로 부터 求한 主波長( $\lambda_d$ ), 純度(Pe), 明度(Y)의 値를 Table 1에, 그의 分光反射曲線을 Fig. 3~9에 圖示하였다.

#### 4. 考 察

##### 4-1. MgO-Cr<sub>2</sub>O<sub>3</sub>系

Fig. 2와 같이 430, 585m $\mu$ 에서 吸收 peak, 505m $\mu$ 에서 反射 peak를 볼수 있으며 이들 吸收는 Cr<sup>3+</sup>의 6配位의 強烈選擇性<sup>11, 12</sup>때문이라고 思料되며 이結果는 Du Mont<sup>13</sup>의 報告와 一致하다.

MgO-Cr<sub>2</sub>O<sub>3</sub>系에서 Bonthron<sup>14</sup>은 MgO·Cr<sub>2</sub>O<sub>3</sub>, MgO·2Cr<sub>2</sub>O<sub>3</sub>가 存在한다고 하였다. 그러나 後에 Wilde<sup>15</sup> 등에 依하여 訂正되어 MgO·Cr<sub>2</sub>O<sub>3</sub>만의 存在가 인정되고 있다. 이것은 本實驗의 Fig. 1의 X-線分析結果와 같이 MgO·Cr<sub>2</sub>O<sub>3</sub>만이 單一 Spinel임과 一致하고 있다. 또한 420m $\mu$ 부근의 紫色의 吸收 peak와 590m $\mu$ 부근의 黃色의 吸收 peak가 함께 어울려 500~560m $\mu$ 에서 미약한 吸收를 나타내어 이것이 綠色의 主波長을 나타낸다고 生覺된다.

##### 4-2. MgO-Cr<sub>2</sub>O<sub>3</sub>-Al<sub>2</sub>O<sub>3</sub>系

Fig. 3에서와 같이 Cr<sup>3+</sup>에 對하여 Al<sup>3+</sup>가 增加함에 따라 約 480~500m $\mu$ 에서 反射 peak는 약간 紫色쪽으로 移動하고 있고 또 吸收 및 反射가 反射度가 높은 쪽에 位置하여 green에서 brown을 거쳐  $x=0.9$ 에서는 아주 밝은 pink色을 나타내고 있다. 이는 Cr<sup>3+</sup>의 強烈 6配位選擇性이 Al<sup>3+</sup>가 增加함에 따라 Al<sup>3+</sup>가 4配位 대지 6配位를 점차 많이 차지하고 있다고 推定된다.

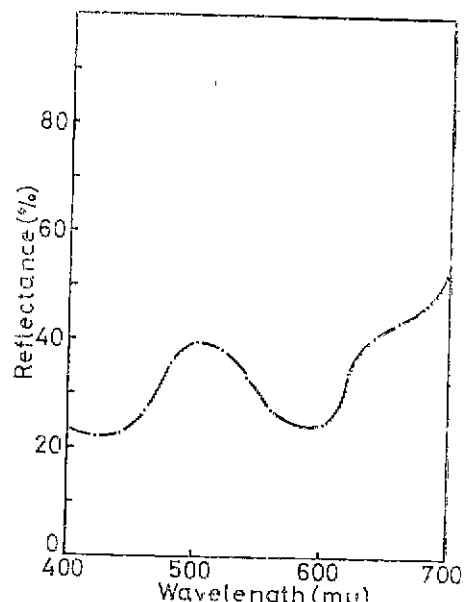


Fig. 2 Reflectance spectra of MgO·Cr<sub>2</sub>O<sub>3</sub>.

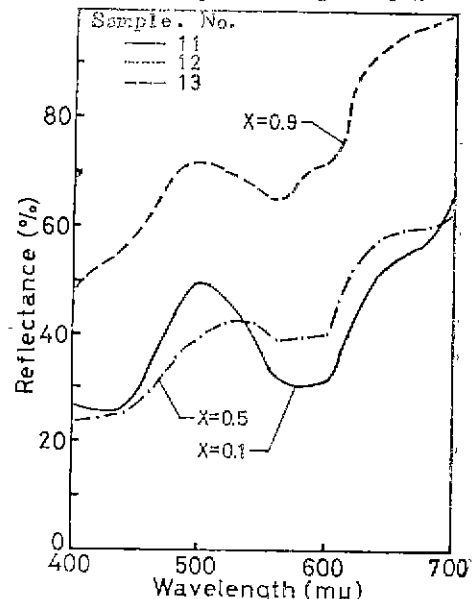


Fig. 3 Reflectance spectra of M(1-x)Cr<sub>x</sub>Al.

##### 4-3. NiO-MgO-Cr<sub>2</sub>O<sub>3</sub>系

$x$ NiO·(2-x)MgO·SnO<sub>2</sub>의 組成에서 Ni<sup>2+</sup>를 增加하면 Spinel는 急激히 生成하기 어렵게 되고  $x=1$ 의 NiO-MgO-SnO<sub>2</sub>는 單一 Spinel이 되지 않고, Spinel peak外에 SnO와 NiO-MgO系의 固溶體라고 생각되는 peak가 X-線分析結果, 상당히 強하게 나타나는데<sup>20</sup> 이理由는 Ni<sup>2+</sup>가 3d<sup>8</sup>의 電子配列에서 6配位의選擇性이 強하고<sup>11, 12</sup> 4配位의 位置에는 대단히 들어

가기 어렵고<sup>18)</sup>  $Mg^{2+}$ ,  $Sn^{4+}$ 들도 4配位選択性을 나타내지 않기 때문에 Spinel格子中에 4, 6配位位置의陽イ온의分布가 어떻게 되기 때문이다<sup>19)</sup>. 그러나  $NiO-Cr_2O_3$ 는 Lotgering<sup>19)</sup>에 의해 상온에서 正方晶으로 나타나고 있다고 하였다.

$NiO-MgO-Cr_2O_3$ 系인 Fig. 4에서와 같이 吸收peak의 큰變化가 없고 反射peak가 낮은 것은 green에서 dark green을 나타내고 있다. 이것은 6配位의選択性이 아주強한  $Cr^{3+}$  때문이며 620m $\mu$ 의吸收는  $Ni^{2+}$ 가 4配位position에 들어가는 것으로 생각되어진다.

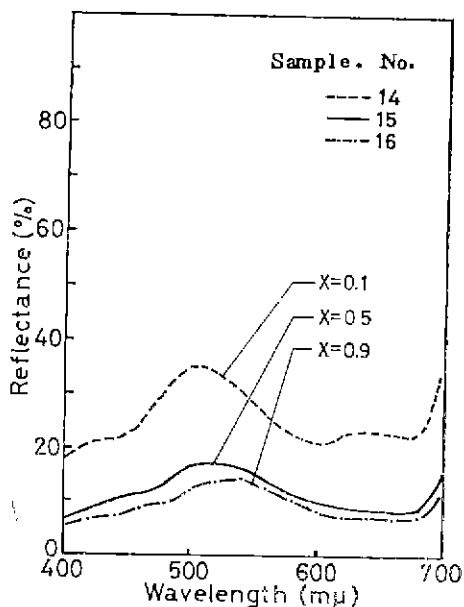


Fig. 4. Reflectance spectra of  $xN(1-x)MC$ .

#### 4-4. $ZnO-MgO-Cr_2O_3$ 系

Fig. 5에서와 같이  $x=0.5$ ,  $0.9$  즉  $Zn^{2+}$ 의增加에서 430, 575, 670m $\mu$ 에서의吸收와 520m $\mu$ 에서의反射peak를 볼수 있으며 이결과는 DuMont<sup>15)</sup>의實驗結果와 잘 일치하고 있다.

色調의變化는  $x=0.1$ 에서 green色을 나타내나  $x=0.5$ ,  $0.9$ 에서急速히 緋은 brown色을 띤다. 이것은  $Cr^{3+}$ 는 6配位選択性이 극히強하고 항상 6配位의 position에만 들어가고 또  $Zn^{2+}$ 는 4配位의選択性이 극히강하기<sup>10)</sup> 때문인 것으로 생각된다. 그러므로  $Zn^{2+}$ 가 많은顏料에서는 brown계통과 다른變色이온의置換은 여전히色과 비교적彩度가 높은 짙은色이됨을 알수 있다.

#### 4-5. $CoO-MgO-Cr_2O_3-Al_2O_3$ 系

Fig. 6의  $xCoO \cdot (1-x)MgO \cdot Cr_2O_3 \cdot Al_2O_3$ 에서  $x=0.1$ ,

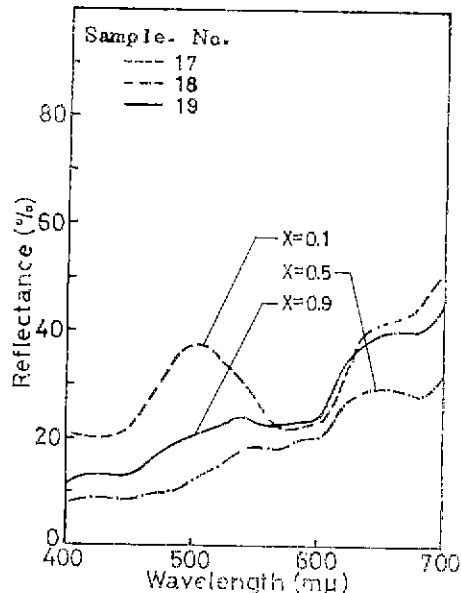


Fig. 5. Reflectance spectra of  $xZ(1-x)MC$ .

0.5, 0.9 mole比로  $Co^{2+}$ 가增加하여도 560~680m $\mu$ 에서 심한吸收로 밝은青綠色이 나타나고 있음을 어떤것이나 4配位  $Co^{2+}$ 의吸收로서 position은多少벗어나나 다른4配位  $Co^{2+}$ 를 가진 Co系顏料와<sup>1, 3, 7)</sup> 같은것으로 일정되고 그의特性은 DuMont<sup>15)</sup>등의指摘파일치하고 있다.

$x=0.1$ 에서 430, 570~660m $\mu$ 에吸收가 있음을역시 4配位  $Co^{2+}$ 의 것으로서 500m $\mu$ 부근에서反射peak

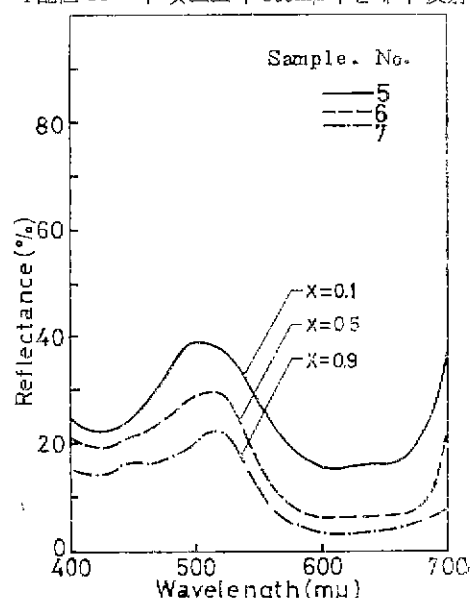


Fig. 6. Reflectance spectra of  $xCo(1-x)MC$ .

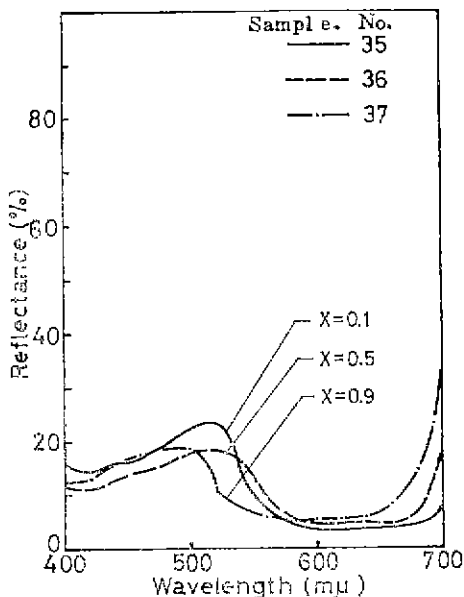


Fig. 7. Reflectance spectra of  $0.9\text{Co}0.1\text{M}(1-x)\text{CrA}$ .

가 있다.  $435\text{m}\mu$  부근의 吸收는  $\text{Cr}^{3+}$ 에 依한 것이며  $\text{Cr}^{3+}$ 의 吸收는  $580\text{m}\mu$  부근에도 있는 것으로 推定되나  $\text{Co}^{2+}$ 의 吸收와 重複되어 区別하기는 어렵다<sup>5)</sup>.

Fig. 7에서  $\text{Cr}^{3+}$ 에 對하여  $\text{Al}^{3+}$ 의 增加置換은 吸收 peak에 큰 移動이 없었으나 反射吸收의 差가 약간 적어지므로 色調도 약간 칠어짐을 알수 있다.

또  $\text{Co}^{2+}$ 가 增加함에 따라 反射度는 낮은쪽에서, 또한 4配位  $\text{Co}^{2+}$ 의 特性으로 吸收 peak는  $560\sim680\text{m}\mu$ 로 broad 해짐을 알수 있다. 이것은 色調가 青色으로 기울어지고 칠어짐을 알수 있으며 이것으로  $\text{Cr}^{3+}$ 의 6配位의 強한 選擇性과  $\text{Co}^{2+}$ 의 4配位의 強한 選擇性으로  $\text{Al}^{3+}$ 의 選擇性이 強하게 나타나지 못함을 알수 있다.

#### 4-6. $\text{CdO}-\text{MgO}-\text{Cr}_2\text{O}_3-\text{Al}_2\text{O}_3$ 系

Fig. 8의  $x\text{CdO} \cdot (1-x)\text{MgO} \cdot \text{Cr}_2\text{O}_3$ 系에서는 吸收反射가 약간 紫紅色으로 移動하고  $x=0.1$ 에서 green,  $x=0.5$ 에서 bright green,  $x=0.9$ 에서 dark green을 나타낸다. 이와같이  $\text{Cd}^{2+}$ 가  $\text{Mg}^{2+}$ 에 대해 많이 置換하여도 色調의 큰 變化가 없음은  $\text{Cd}^{2+}$ 가  $\text{Mg}^{2+}$ 보다 뛰어난 選擇性이 크지 않기때문이라고 생각된다.

Fig. 9에서 볼수있는 마와같이  $\text{Al}^{3+}$ 의 增加는 吸收反射가 단파장쪽으로 移動함과 동시에 反射度가 높은 쪽에 位置하며 吸收反射의 差가 커 밝은 綠色 대체 밝은 greenish pink 色을 나타내고 있다.  $\text{Mg}^{2+}$ 나  $\text{Cd}^{2+}$ 보다  $\text{Al}^{3+}$ 의 作用이 큼을 알수 있다. 따라서  $\text{Cd}^{2+}$ 는 볼

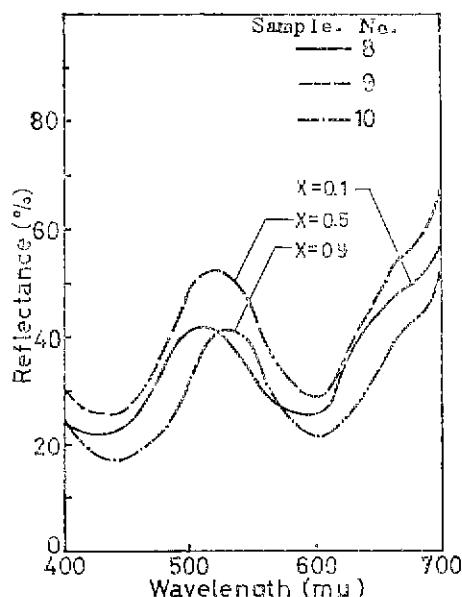


Fig. 8. Reflectance spectra of  $x\text{Cd}(1-x)\text{MC}$ .

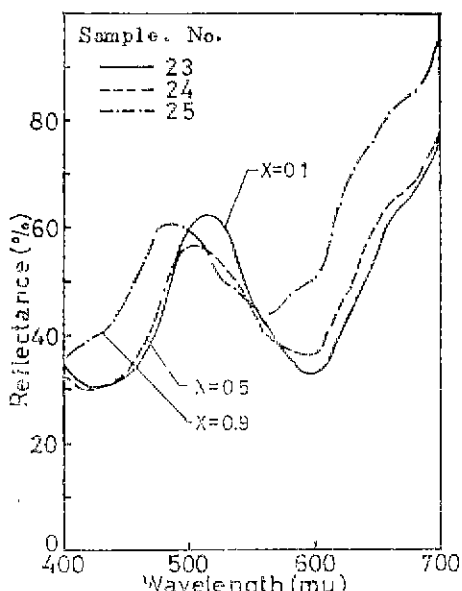


Fig. 9. Reflectance spectra of  $0.5\text{Cd}0.5\text{M}(1-x)\text{CrA}$ .

안정하여 배위의 선택性에 대해 더 研究할 과제라 思料된다.

#### 4-7. 格子常數의 變化

Fig. 10에서와 같이 單一-Spinel의 格子常數의 變化를 檢討한 結果 格子常數는 兩端 Spinel 間을 置換量에 따라 거의 直線的으로 變化함을 알수 있다.

ZnO-MgO-Cr<sub>2</sub>O<sub>3</sub>系에서는 Cr<sup>3+</sup>, Zn<sup>2+</sup>의 強한 배위 성때문에 Vegard's law에 잘 맞아 주지 않았다<sup>5)</sup>. 또한 Spinel의 格子常數가 크게 될 때 따라 Co<sup>2+</sup>, Cr<sup>3+</sup>

의 각吸收가 赤側으로 移動하는 것이 인정 되었다<sup>6)</sup>. 그러나 이것들의吸收가 重複되는 경우相互의 判別은 어렵다고 生覺된다.

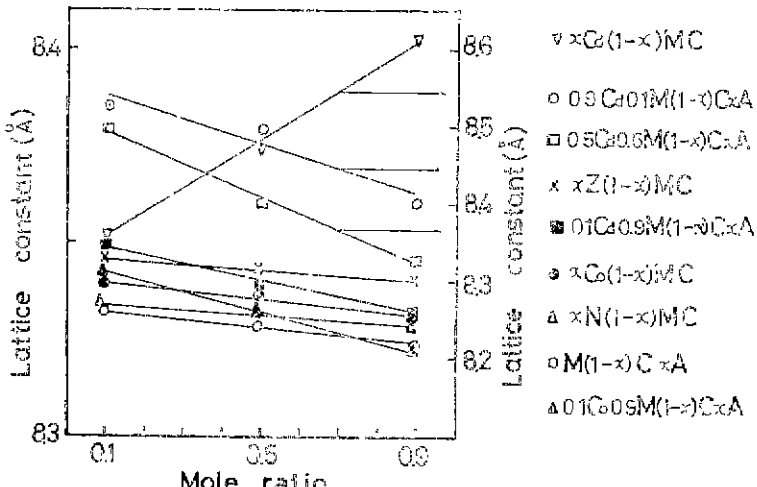


Fig. 10. Lattice constant according to mole ratio in each spinels.

#### 4-8. 試料의 適應試驗

試製한 Spinel顏料의 陶磁器에의 適用性을 檢討하기 위하여 重量比로 서창도석 36%, 목포도석 19%, 하동 카오린 10%, 동두천장석 20%, 함평검토 10%, 포천 점토 5%의 組成을 갖는 半磁器質 素地를 加壓成形한 후 950°C로 가열하여 얻어진 素地表面에 Table 2와 같은 組成을 갖는 釉藥에 Spinel顏料 1~4%를 添加하여 濕式混合하여 施釉하고 건조한 후 最高溫度 1250°C에서 30分間 維持하고 嵌冷한 다음 試片面에 對한 Spinel의 分解有無 및 量色을 관찰한 결과 커다란 色의 變化는 찾아볼 수 없고 거의 green이나 bluish green系統의 安定한 發色을 나타내 있다.

이는 OHTSUKA<sup>2)</sup>의 Spinel顏料色釉시험 결과를 MgO·Cr<sub>2</sub>O<sub>3</sub>系顏料는 釉藥에서 큰 變化를 하지 않는다는 것과 일치하고 있다.

Table 2. Composition of glaze

0.20 KNaO		
0.25 CaO	0.8 Al <sub>2</sub> O <sub>3</sub>	4.0 SiO <sub>2</sub>
0.55MgO		

#### 5. 結論

MgO-Cr<sub>2</sub>O<sub>3</sub>-Al<sub>2</sub>O<sub>3</sub>, NiO-MgO-Cr<sub>2</sub>O<sub>3</sub>, ZnO-MgO-Cr<sub>2</sub>O<sub>3</sub>, CoO-MgO-Cr<sub>2</sub>O<sub>3</sub>-Al<sub>2</sub>O<sub>3</sub>, CdO-MgO-Cr<sub>2</sub>O<sub>3</sub>-Al<sub>2</sub>O<sub>3</sub>系의 各 Spinel에서 Mg<sup>2+</sup>→Co<sup>2+</sup>, Ni<sup>2+</sup>, Zn<sup>2+</sup>, Cd<sup>2+</sup>, Cr<sup>3+</sup>→Al<sup>3+</sup>로 계속 置換한 Spinel의 生成과 色調의 變化를 관찰한 결과는 각각의 Spinel에서 Mg<sup>2+</sup>의 배위성이 크고, Cr<sup>3+</sup>의 배위성이 작았던 것이다. 그 결과로 각각의 Spinel에서 Mg<sup>2+</sup>의 배위성이 크고, Cr<sup>3+</sup>의 배위성이 작았던 것이다. 그 결과로 각각의 Spinel에서 Mg<sup>2+</sup>의 배위성이 크고, Cr<sup>3+</sup>의 배위성이 작았던 것이다.

이를 관찰한 實驗結果를 要約하면 다음과 같다.

- 各調合의 치환율에 따른 lattice constant의 變化는 거의 linear하게 變하므로 이것은 Vegard's law에一致함을 알 수 있다.
- 그럼에서와 같이 反射吸收의 差가 크면 를 수록 색같은 light 해지고 Reflectance가 높은 쪽에서 吸收反射가 있게 되면 彩度가 높음을 알 수 있다.
- CdO-MgO-Cr<sub>2</sub>O<sub>3</sub>-Al<sub>2</sub>O<sub>3</sub>系에서 Al<sup>3+</sup>가 增加함에 따라 green에서 brown을 거쳐 pink色이 되었고吸收 peak는 紫色쪽으로 移動하였다.
- CoO-MgO-Cr<sub>2</sub>O<sub>3</sub>-Al<sub>2</sub>O<sub>3</sub>系에서 Co<sup>2+</sup>의 增加에 따라 純度가 높아지고 Co<sup>2+</sup>의 吸收는 紫色쪽으로 移動했으며 blue green에서 dark blue를 나타내었다.
- NiO-MgO-Cr<sub>2</sub>O<sub>3</sub>系와 CdO-MgO-Cr<sub>2</sub>O<sub>3</sub>系에서 全體적으로 green色을 나타내고 ZnO-MgO-Cr<sub>2</sub>O<sub>3</sub>系에서는 좋은 發色을 얻을 수 없었다.
- 色釉試驗은 石灰釉아닌 石灰마그네시아釉에서도 美麗하고 安定한 發色을 나타내는 경우가 있다.

#### References

- 大塚淳, “Co<sup>2+</sup>, Ni<sup>2+</sup>を含むマグネシウム-亞鉛系チタンスピニルの生成と發色”, 日陶協誌, 73(8), 92-102(1965).
- 大塚淳, “錫スピニルの生成と發色とに およぼす陽イオンの 配位選擇性の影響”, 日陶協誌, 73(9), 84-94(1965).

3. 大塚淳, “Co<sup>2+</sup>, Ni<sup>2+</sup> を含むチタン一錫スピネルの生成と發色”, 日塗協誌, 73(11), 225-235(1965).
4. 大塚淳, “Co<sup>2+</sup>, Ni<sup>2+</sup> を含むチタン一クロムスピネルの生成と發色”, 日塗協誌, 74(5), 153-165(1966).
5. 大塚淳, “Co<sup>2+</sup>, Ni<sup>2+</sup> を含む錫一クロムスピネル顔料”, 日塗協誌, 80(7), 285-299(1972).
6. 大塚淳, “CoO-ZnO-Al<sub>2</sub>O<sub>3</sub>-Cr<sub>2</sub>O<sub>3</sub>-Fe<sub>2</sub>O<sub>3</sub>系におけるスピネル固溶体の生成とその色”, 日塗協誌, 81(2), 49-63(1973).
7. 山口悟郎, 宮部久子, “ZnO-CoO-Mg系の固溶現象とコバルトグリーン顔料”, 工化(日), 63(4), 562-565(1960).
8. 李瀧, “色斗彩色料”, 塗協誌, 4(1)22-37(1967).
9. 朴容浣, “Spinel顔料에關する研究”, 工研報告, 19, 193-198(1969).
10. J.B. Goodenough and A.L. Loeb, “Theory of Ionic Ordering, Crystal Distortion, and Magnetic Exchange Due to Covalent Forces in Spinels,” *Phys. Rev.*, 98, 391-408(1955).
11. J.D. Dunitz and L.E. Orgel, “Electronic Properties of Transition Metal Oxides-I.” *J. Phys. Chem. Solids*, 3, 20-29(1957).
12. Arthur Miller, “Distribution of Cations in Spinels,” *J. Appl. Phys.*, 30(4) 24s-25s (1959).
13. A.C. Hardy, “HANDBOOK OF COLORIMETRY”, The Technology Press Massachusetts Institute of Technology Cambridge, Massachusetts, U.S.A.
14. 加藤悦三, “陶磁器の装飾技術”, 錦技社(日), p. 87-89(1967).
15. O.S. DuMont, D. Reinen, “Color and constitution of inorganic solids. III Light absorption of trivalent chromium.” *Z. Elektrochem.*, 63(8) 978-87(1959).
16. K.J.A. Bonthron and R. Durrer, “Determination of the fusion diagram of the system : Al<sub>2</sub>O<sub>3</sub>-Cr<sub>2</sub>O<sub>3</sub>-MgO.” *Z. anorg. allgem. chem.*, 198, 141-56(1931).
17. W.T. Wilde and W.J. Rees, “The ternary system MgO-Al<sub>2</sub>O<sub>3</sub>-Cr<sub>2</sub>O<sub>3”</sub>. *Trans. Brit. Ceram. Soc.*, 42, 123-55(1943).
18. 黒谷寿雄, “構造化学的にながめた金属錯化合物”, 化学と工業, 15(10), 68-77 (1962).
19. F.K. Lotgering, “Ferrimagnetism of sulfides and oxides. I. The iron-sulfur system”, *Philips. Res. Rep.*, 11, 337-50(1956).
20. 山口悟郎, 田辺漠、宮浦煌詞, “スピネル顔料に関する研究”, 日塗協誌, 62(693), 191-96(1954).
21. 高橋健太郎, 大塚淳, “チタニウムスピネル系顔料”, 日塗協誌, 67(4), 139-41(1959).
22. 大塚淳, 藤橋唯一郎, “CoO-MgO-Cr<sub>2</sub>O<sub>3</sub>-TiO<sub>2</sub>-SnO<sub>2</sub>系スピネル固溶体の生成と色” 日塗協誌, 82(2)114-125(1974).